

اثر ضد میکروبی فیلم زیست تخریب پذیر بر پایه کنسانتره پروتئین آب پنیر حاوی اسانس صمغ درخت بنه (*Pistacia atlantica* Subsp. *Kurdica*) بر کپک پنی سیلیوم اکسیپانسوم

سمیرا عباسپور منجزی¹ - محمدرضا عدالتیان دوم^{2*} - محمدباقر حبیبی نجفی³ - آرش کوچکی³

تاریخ دریافت: 1396/02/17

تاریخ پذیرش: 1396/06/20

چکیده

در این پژوهش، استفاده از اسانس صمغ بنه به عنوان نگهدارنده‌ای طبیعی در فرمولاسیون فیلم زیست تخریب پذیر بر پایه کنسانتره پروتئین آب پنیر علیه کپک پنی سیلیوم اکسیپانسوم ارزیابی شد. اسانس صمغ بنه استخراج شد. سپس اثر ضد میکروبی با اندازه گیری حداقل غلظت ممانعت کنندگی Minimum Inhibitory Concentration در برابر پنی سیلیوم اکسیپانسوم در غلظت‌های صفر، ۵۰۰، ۱۰۰۰، ۱۵۰۰، ۲۰۰۰، ۲۵۰۰، ۳۰۰۰، ۳۵۰۰ و ۴۰۰۰ پی‌پی‌ام، و حداقل غلظت قارچ کشی Minimum fungicidal Concentration نیز بررسی شد. تمام غلظت‌ها، اثر ضد کپکی معناداری از خود نشان داد ($P < 0.05$). فیلم پروتئین آب پنیر با افزودن اسانس صمغ بنه در غلظت‌های (۱۰۰۰، ۲۰۰۰، ۳۰۰۰، ۴۰۰۰ پی‌پی‌ام) تهیه گردید، این فیلم بر روی محیط کشت Potato Dextrose Agar در مقابل پنی سیلیوم اکسیپانسوم، اثر ضد کپکی نشان داد که به طور معنی داری افزایش اسانس باعث افزایش قطر هاله ضد کپکی شد ($P < 0.05$). افزایش غلظت اسانس در فیلم، باعث افزایش ضخامت گردید ولی این افزایش معنادار نبود و تغییری در میزان شفافیت ایجاد نکرد. حلالیت در آب به طور معناداری تا ۲۲/۶۹ درصد کاهش یافت ($P < 0.05$). افزودن اسانس باعث کاهش میزان نفوذ پذیری فیلم‌ها به بخار آب از ۲۱/۶۲ به ۱۴/۲۷ gmm/mdkPa شده و مقدار کاهش، تابعی از غلظت اسانس بود ($P < 0.05$). افزودن اسانس تا غلظت ۴۰۰۰ پی‌پی‌ام، مقاومت به کشش به طور معنی داری کاهش و درصد ازدیاد طول تا نقطه پارگی تا ۳۶/۹ میلی‌متر افزایش یافت ($P < 0.05$). افزودن اسانس صمغ بنه به فرمولاسیون فیلم، توانست خواص فیزیکی و مکانیکی فیلم مانند مقاومت به رطوبت پذیری، مقاومت به کشش و درصد ازدیاد طول را بهبود بخشد. این فیلم در غلظت ۴۰۰۰ پی‌پی‌ام اسانس، اثر ضد قارچی را نشان داد.

واژه‌های کلیدی: اسانس بنه، پروتئین آب پنیر، اثر ضد میکروبی، فیلم

مقدمه

آنکاردیاسه^۴ است (Hatamnia et al., 2014). گزارش شده است که اسانس صمغ (رزین) بنه دارای فعالیت‌های ضد باکتریایی و ضد قارچی قابل توجه در شرایط آزمایشگاهی می‌باشد (Delazar et al., 2004). اثر ضد میکروبی اسانس صمغ بنه به دلیل وجود ترکیباتی مانند آلفاپینن^۵ و بتاپینن^۶ می‌باشد (Barrero et al., 2005). مقادیر زیادی الفاپینن، در اسانس روغنی حاصل از صمغ *P. atlantica* var. *mutica* (Delazar et al., 2004)، *P. atlantica* var. *kurdica* (Mgiatis et al., 1999)، *P. lentiscus* (Sharifi et al., 2011)، *P. vera* (Monaco et al., 1982)، *P. khinjuk* (Castola et al., 2000)، *P. vera* (Alma et al., 2004; Ramezani et al., 2004) شناسایی و یافت شد. اسانس روغنی *P. atlantica* همچنین دارای پتانسیل

جنس *Pistacia* L. شامل ۱۱ گونه بوده که اکثر آن‌ها معروف و مشهور به تولید اولئورزین هستند. سه نوع پسته در ایران وجود دارد که شامل *P. vera*، *P. atlantica* و *P. khinjuk* می‌باشد. چهار زیرگونه یا وارسته برای *P. atlantica* به نام‌های *cabulica*، *atlantica* و *mutica* شناسایی شده است (Farhoosh et al., 2008). اولئورزین وارسته *mutica*، که معروف به *Turk terebinth gum* می‌باشد در تولید آدامس در ایران استفاده می‌شود. بنه (*Pistacia atlantica*) درختی از گونه درختان خانواده

1، 2 و 3- به ترتیب دانش آموخته کارشناسی ارشد، دانشیار و استاد، گروه علوم و صنایع غذایی، دانشکده کشاورزی، دانشگاه فردوسی مشهد

(*) مسئول مکاتبات: (Email: edalatian@um.ac.ir)

DOI: 10.22067/food.v1396i0.64251

4 Anacardiaceae
5 α -pinene
6 β pinene

بررسی‌های به‌عمل آمده، تاکنون پژوهشی روی اثر ضدقارچی اسانس صمغ بنه در فیلم زیست تخریب‌پذیر بر پایه کنسانتره پروتئین آب پنیر صورت نپذیرفته است، لذا هدف اصلی از انجام این پژوهش، بررسی فعالیت ضدکپکی اسانس صمغ بنه در ترکیب با فیلم زیست تخریب‌پذیر کنسانتره پروتئین آب پنیر (WPC) بر کپک پنی‌سیلیوم اکسپانوم و بررسی برخی خصوصیات فیزیکی، مکانیکی فیلم تولیدی به تنهایی و در ترکیب با سطوح مختلف اسانس بنه می‌باشد.

مواد و روش‌ها

کنسانتره پودر آب پنیر (WPC) با مقدار پروتئین 70% (شرکت شیر مولتی، ایران)، صمغ درخت بنه (شرکت سقز سازی کردستان، ایران)، امولسیفایر توئین 80 و گلیسرول و محیط کشت Potato Dextrose Agar (PDA) (مرک، آلمان) و کپک پنی‌سیلیوم اکسپانوم (PTCC 89046) (مرکز کلکسیون قارچ‌ها و باکتری‌های سازمان پژوهش‌های صنعتی ایران، ایران) تهیه شد.

اسانس‌گیری از صمغ درخت بنه

برای اسانس‌گیری از روش تقطیر با آب (Water distillation) به‌وسیله دستگاه کلونجر انجام شد. بدین ترتیب که 100 گرم از صمغ در بالن دستگاه قرار داده شد. سپس دو سوم حجم بالن با آب مقطر پر شد و حرارت داده شد. پس از به‌دست آمدن اسانس مقدار کمی سولفات سدیم (Na_2SO_4) بدون آب جهت جذب آب و مقدار کمی رطوبت که همراه اسانس است اضافه گردید. سپس اسانس را از صافی پنبه یا پشم شیشه عبور داده شد. در نهایت آن را در یک ظرف تیره ریخته و درپوش آن بسته شد و در دمای 2 تا 4 درجه سانتی‌گراد نگهداری گردید (بخردی و خیاط کاشانی، 1385).

تهیه فیلم زیست تخریب‌پذیر از کنسانتره پودر پروتئین آب پنیر (WPC)

ابتدا محلول 10 درصد (وزنی/وزنی) از پودر کنسانتره پروتئینی آب پنیر در آب مقطر تهیه گردید. جهت انحلال کامل پودر کنسانتره پروتئین آب پنیر به مدت 1 ساعت بر شیکر با 180 دور در دقیقه هم‌زده شد و به‌وسیله pH متر؛ pH محلول، روی 7 تنظیم گردید (Pérez-Gago and Krochta, 1999)، سپس محلول تهیه شده به مدت 30 دقیقه درون بن ماری در دمای 90 درجه سانتی‌گراد حرارت داده شد و توسط ظرف محتوی یخ سرد گردید. بعد از آن گلیسرول به‌عنوان نرم‌کننده به میزان برابر با پودر کنسانتره پروتئینی آب پنیر (وزنی/وزنی) به محلول اضافه گردید (Bahram *et al.*, 2014) و به مدت 10 دقیقه روی شیکر با 140 دور در دقیقه هم‌زده شد تا محلول یکنواختی به‌دست آید. سپس قبل از افزودن اسانس به محلول، توئین

کاربرد به‌عنوان یک عامل ضد میکروبی در فیلم‌ها می‌باشد (Taran *et al.*, 2010).

فیلم‌های زیست تخریب‌پذیر عموماً از پروتئین‌ها، پلی‌ساکاریدها و چربی‌ها، به‌صورت مجزا یا در ترکیب با یکدیگر تولید می‌شوند. فیلم‌های زیست تخریب‌پذیر بر پایه پروتئینی به‌واسطه خواص تغذیه‌ای آن‌ها و بهتر بودن ویژگی‌های مکانیکی و ممانعت‌کنندگی در برابر نفوذ گازها در مقایسه با فیلم‌های لیپیدی و پلی‌ساکاریدی همواره مورد توجه ویژه‌ای قرار داشته‌اند (Barrero *et al.*, 2005). همچنین فیلم‌های زیست تخریب‌پذیر بر پایه پروتئین آب پنیر، خصوصیات مکانیکی و ممانعت‌پذیری بهتری در مقایسه با سایر انواع فیلم‌های بر پایه پروتئین (ژئین ذرت، گلو تن گندم و پروتئین ایزوله سویا) یا فیلم‌های بر پایه پلی‌ساکارید (نشاسته، سلولز، کاراژینان و پکتین) از خود نشان داده‌اند و تا حدودی قابل مقایسه با بهترین فیلم‌های پلیمری سنتزی در بازار هستند (Ramos *et al.*, 2012). هرچند که خصوصیات ممانعت‌پذیری نسبت به رطوبت و خواص مکانیکی این قبیل فیلم‌ها دارای محدودیت‌هایی است که به‌منظور برطرف ساختن این موانع و معایب، پلاستیسایزرها (از قبیل سوربیتول یا گلیسرول) برای بهبود مقاومت در برابر انتقال رطوبت، به فیلم افزوده می‌گردد. از پروتئین‌های آب پنیر حاوی سه روغن اساسی اورگانو¹، رزماری² و سیر را مورد بررسی قرار دادند. این محققان اثر ضد میکروبی فیلم‌های حاوی 1-4 درصد وزنی - حجمی از اسانس‌های روغنی نامبرده را در مقابل 5 باکتری اشریشیاکلی O157:H7 (ATCC 35218)، استافیلوکوکوس اورئوس (ATCC 43300)، لیستریا مونوسیتوژنز (NCTC2167)، سالمونلا اینترتیدیس (ATCC 13076) و لاکتوباسیلوس پلانتروم (DSM20174) آزمایش کردند. نتایج به‌دست آمده با کمک روش دیسک‌های انتشاری نشان داد که فیلم‌های ضد میکروبی حاوی اسانس روغنی اورگانو در غلظت 2 درصد نسبت به انواع فیلم‌های حاوی روغن‌های سیر و رزماری علیه میکروارگانسیم‌های مورد آزمون موثرترین بودند ($p < 0.05$). برزگر و همکاران (1396)، خواص فیزیکی و ضد میکروبی فیلم خوراکی کیتوزان حاوی اسانس صمغ بنه را مورد ارزیابی قرار دادند.

قارچ‌ها به‌عنوان عوامل مولد فساد مواد غذایی انسان و دام در طول نگهداری، شناخته می‌شوند که از طریق تولید مایکوتوکسین‌ها، باعث نامناسب شدن برای مصرف انسان و دام می‌شود (Kumar *et al.*, 2007).

پنی‌سیلیوم اکسپانوم به‌عنوان عامل فساد پس از برداشت میوه‌جات به‌خصوص در میوه سیب حائز اهمیت است. با توجه به

1 Oregano

2 Rosemary

پایداری در محلول‌های اسیدی و قلیایی

به منظور تعیین میزان مقاومت در فیلم‌ها در محلول‌های اسیدی و قلیایی، روش مشابه تعیین حلالیت فیلم‌ها در آب عمل گردید. به این منظور قطعات با ابعاد یکسان از فیلم‌ها تهیه گردید. نمونه‌ها پس از توزین با دقت 0/0001، در ارلن‌های محتوی 25 میلی لیتری محلول‌های 0/1 نرمال هیدروکسید سدیم یا اسید کلریدریک قرار گرفتند و به طور مداوم به مدت یک ساعت بر روی شیکر با دور 50 دور در دقیقه در دمای 25 درجه سانتی‌گراد به هم زده شدند (Hu & Chen, 2009). قطعات باقیمانده فیلم با کمک فیلتر کاغذی از محلول جدا شده و تا رسیدن به وزن ثابت در آن 60 درجه سانتی‌گراد خشک و سپس توزین شدند. میزان پایداری فیلم‌ها در محلول‌های اسیدی و قلیایی بر اساس درصد حلالیت آن‌ها در محلول‌های مذکور تعیین شد.

نفوذپذیری به بخار آب

میزان نفوذپذیری به بخار آب فیلم‌ها بر اساس استاندارد ASTM E96 (2001) و به روش دیسکانت تعیین شد. دیسکاتور داخل اینکوباتور 25 درجه سانتی‌گراد قرار داده شد و به مدت 7 روز در فواصل زمانی معین (3 ساعت) تا مدت زمان 12 ساعت ظروف توزین شدند. میزان نفوذپذیری به بخار آب wvp از رابطه 3، محاسبه شد:

در این رابطه m میزان افزایش وزن ظروف بعد از گذشت زمان آزمون، L ضخامت فیلم، A مساحت موثر فیلم، t مدت زمان آزمون و Δp تفاوت فشار بیرون و درون ظروف آزمایش می‌باشد.

$$WVP = \frac{m.l}{A.t.\Delta p} \left[\frac{g.mm}{lm^2.d.kpa} \right] \quad (3)$$

تعیین میزان عبور نور و شفافیت فیلم‌ها

ویژگی ممانعت‌کنندگی در برابر نور مرئی در فیلم‌ها با استفاده از روش Yan و همکاران (2011) و با استفاده از دستگاه UV-Vis اسپکتروفوتومتر (CAMSPEC M550، انگلستان) در طول موج 600 نانومتر اندازه‌گیری شد. بدین منظور قطعات 4x1 سانتی‌متری از فیلم‌ها بریده و ضخامت آن‌ها در 5 نقطه در امتداد فیلم اندازه‌گیری شد. سپس قطعه فیلم در دیواره شفاف داخل سل کوارتزی دستگاه قرار داده شده و میزان جذب نمونه قرائت شد. شفافیت از رابطه 4، قابل محاسبه است (Han & Floros, 1997):

$$Transparency = \frac{A_{600}}{x} \quad (4)$$

در این معادله A600 میزان جذب در طول موج 600 نانومتر و X متوسط ضخامت فیلم بر حسب میلی‌متر می‌باشد.

شاخص L* روشنایی نمونه، شاخص a* قرمزی نمونه و شاخص

80 به عنوان امولسیفایر به میزان 0/2 درصد حجم اسانس به محلول اضافه شد و به مدت 30 دقیقه به آرامی هم زده شد و سپس غلظت‌های (1000، 2000، 3000، 4000 پی‌پی‌ام) از اسانس به محلول اضافه گردید و به مدت 2 دقیقه هم زده شد. همچنین جهت نمونه کنترل، فیلم دارای توپین و بدون اسانس و همچنین فیلم بدون اسانس و بدون توپین نیز تولید شد. محلول به مدت 24 ساعت در یخچال (دمای 4 درجه سانتی‌گراد) قرار داده می‌شود تا هواگیری به طور کامل انجام شود. برای خارج شدن حلال (آب)، 160 گرم از هر محلول درون پلیت‌های شیشه‌ای با قطر 14x14 ریخته شد و سپس پلیت‌ها در یک سطح کاملاً تراز در آن در دمای 50-45 درجه سانتی‌گراد قرار گرفتند تا خشک شده و فیلم تهیه شود (Chae & Heo, 1997; Bahram et al., 2014).

آماده‌سازی و اندازه‌گیری ویژگی‌های فیلم

اندازه‌گیری ضخامت و دانسیته

ضخامت فیلم‌های تولیدی توسط میکرومتر دیجیتال مدل QLR digit-IP54, China در 5 نقطه از نمونه‌های فیلم اندازه‌گیری شد. برای تعیین دانسیته نیز، قطعات مستطیل شکل از فیلم‌ها به ابعاد 2x3 سانتی‌متر تهیه شده و به مدت 10 روز در دیسکاتور حاوی سلیکاژل در دمای 25 درجه سانتی‌گراد قرار گرفتند. سپس ضخامت آن‌ها در 5 نقطه (4 نقطه در پیرامون و یک نقطه در مرکز) اندازه‌گیری شده و قطعات با استفاده از ترازوی با دقت 0/0001 توزین شدند. دانسیته از تقسیم وزن نمونه‌ها بر ابعاد (حجم)، رابطه (1) $\rho = m/v$ محاسبه شد (Muller et al., 2008).

حلالیت در آب

میزان حلالیت فیلم‌ها در آب با استفاده از روش Romero-Bastida و همکاران (2005) تعیین شد. به این منظور قطعات 2x3 سانتی‌متری از هر فیلم برش داده شد و در دیسکاتور حاوی سلیکاژل (رطوبت نسبی صفر) به مدت 7 روز نگهداری گردید. پس از طی این مدت نمونه‌ها با دقت 0/0001 وزن شدند و در بشرهای محتوی 80 میلی‌لیتر آب مقطر قرار گرفتند. مقدار 0/02 سدیم آزید برای جلوگیری از رشد میکروارگانیسم‌ها به آب مقطر اضافه گردید. نمونه‌ها به مدت 24 ساعت بر روی شیکر با 70 دور در دقیقه در دمای 25 درجه سانتی‌گراد هم زده شدند. سپس قطعات باقیمانده فیلم در آن 60 درجه تا رسیدن به وزن ثابت خشک شده و مجدداً وزن شدند. درصد حلالیت با استفاده از فرمول زیر محاسبه گردید:

$$(2) \quad 100 \times \text{وزن اولیه} / (\text{وزن اولیه} - \text{وزن نهایی}) = \text{درصد حلالیت}$$

شمارش شدند تا سوسپانسیونی با غلظت 10^6 اسپور در میلی‌لیتر به‌دست آید (Cheragh Ali, et al., 2007).

تعیین MIC به روش رقت در آگار

برای این منظور مقدار مشخصی از محیط کشت PDA استریل با دمای 45 درجه سانتی‌گراد با غلظت‌های مختلف اسانس شیره درخت بنه (صفر، 500، 1000، 1500، 2000، 2500، 3000، 3500، 4000 پی‌پی‌ام) تهیه شد و در پلیت توزیع گردید، سپس یک حلقه میسلومی از حاشیه کشت 7 روزه کپک پنی سیلیوم اکسپانسونوم در مرکز هر پلیت قرار داده شد. میزان بازدارندگی برای هر غلظت از اسانس در 3 تکرار انجام شد و غلظت صفر (محیط کشت بدون اسانس) به‌عنوان شاهد در نظر گرفته شد. پلیت‌ها به مدت 10 روز در دمای 25 درجه سانتی‌گراد گرمخانه‌گذاری شدند و قطر کلنی‌ها روزانه و تا زمانی که تمام قطر پلیت توسط کپک پوشانده شود اندازه‌گیری شدند (Tripathi, et al., 2008).

درصد مهارکنندگی بر اساس قطر هاله شفاف با استفاده فرمول 6 محاسبه گردید:

$$\text{درصد مهار رشد} = \frac{dc-ds}{dc} \times 100 \quad (8)$$

dc = میانگین قطر رشد در نمونه شاهد
 ds = میانگین قطر در نمونه تحت تیمار

تعیین حداقل غلظت کشنده (MFC)

به‌منظور بررسی غلظت قارچ‌کشی Fungicide اسانس، تیمارهایی که رشد کپکی در آن‌ها مشاهده نگردید، به‌وسیله لوب استریل حلقه میسلومی آن پلیت را به محیط کشت PDA انتقال داده شد و در دمای 25 درجه سانتی‌گراد گرمخانه‌گذاری شدند و رشد یا عدم رشد کپک‌ها پس از یک هفته بررسی می‌گردد (Tripathi, et al., 2008).

تعیین فعالیت ضد میکروبی فیلم‌های تولیدی

بدین منظور از روش Film disk agar diffusion assay استفاده شد. در این روش فیلم‌ها با غلظت‌های (1000، 2000، 3000، 4000 پی‌پی‌ام) اسانس، را به‌صورت دیسک‌هایی با قطر 6 میلی‌متر برش داده شد و در مرکز پلیت‌های حاوی محیط کشت PDA که قبلاً با سوسپانسیون اسپورهای کپک با غلظت 10^6 CFU به ازای هر 20 میلی‌لیتر از حجم سوسپانسیون تلقیح شده بود قرار گرفتند. پلیت‌ها را به مدت 48 ساعت در دمای 25 درجه سانتی‌گراد گرمخانه‌گذاری شدند و بعد از زمان 48 ساعت قطر مناطق بازدارندگی با استفاده از کولیس اندازه‌گیری شد. تمامی غلظت‌ها در 3 تکرار انجام شدند و

b^* زردی نمونه در دو تکرار اندازه‌گیری شد. اختلاف رنگ کل (ΔE) بر اساس فرمول شماره 5، و روش Abdollahi و همکاران (2012) محاسبه شد. اندازه‌گیری پارامترهای رنگی با استفاده از دستگاه هانتر لب Konica Minolta (Chroma meter CR410، ژاپن) انجام شد.

$$\Delta E = \sqrt{(\Delta L)^2 + (\Delta a)^2 + (\Delta b)^2} \quad (5)$$

تعیین ویژگی‌های مکانیکی فیلم‌ها

ویژگی‌های مقاومت به کشش (TS) و درصد ازدیاد طول تا نقطه پارگی (E%) بر اساس استاندارد، ASTM D882-02 و به‌وسیله دستگاه بافت‌سنج LLOYD (AMETEK, RS-232، آمریکا) اندازه‌گیری شد. برای انجام آزمایشات فاصله بین دو فک قبل از شروع آزمون 50 میلی‌متر، سرعت حرکت فک‌ها 50mm/min و Load cell 500 N تنظیم شد. مقاومت به کشش (TS) و درصد ازدیاد طول تا نقطه پارگی (E%) با روابط 6 و 7 ذیل تعیین شدند:

$$\text{Tensile strength} = \frac{\text{Maximum Load}}{\text{Cross sectional area of samples}} [\text{mp}] \quad (6)$$

$$\% E = \frac{\text{Elongation at breaking point} \times 100}{\text{Original length}} [\text{mm}] \quad (7)$$

در این رابطه Maximum Load بیشینه نیروی ثبت شده به فیلم بر حسب نیوتن و Cross sectional area of samples سطح مقطع عرضی اولیه فیلم بر حسب متر مربع، Elongation at breaking point مقدار افزایش طول نقطه پارگی بر حسب میلی‌متر و Original length طول اولیه نمونه بین دو فک (10 میلی‌متر در این تحقیق) می‌باشد.

آزمون‌های میکروبی

فعال‌سازی و تهیه اسپور کپک

به‌منظور فعال‌سازی، کپک را در پلیت حاوی محیط کشت PDA به‌صورت سطحی کشت داده و در دمای 25 درجه سانتی‌گراد به مدت 5 تا 7 روز تا رشد کامل و ظاهر شدن کلنی‌ها نگهداری شدند. سپس کپک در لوله حاوی محیط کشت PDA که به‌صورت شیب‌دار (SLANT) ریخته شده بود کشت داده شد. لوله‌ها به مدت 7 روز در دمای 25 درجه سانتی‌گراد تا کپک‌ها رشد کرده و تولید اسپور گرمخانه‌گذاری شدند.

جهت جدا کردن اسپورها، در هر لوله کشت تعدادی گوی شیشه‌ای استریل همراه با حدود 10 میلی‌لیتر توئین 80 استریل (0/1 درصد) ریخته و پس از بستن درب لوله‌ها، چند دقیقه هم‌زده شدند تا اسپورها در اثر برخورد با گوی‌ها از سطح کلونی کنده شده و وارد محلول شوند. سپس محلول حاصل توسط کاغذ صافی شماره 1 در شرایط استریل صاف گردیدند. محول حاوی اسپور توسط محلول توئین 80 (0/1 درصد) رقیق گردید سپس با لام هموسایتومتر

میانگین ضخامت فیلم‌ها بین 0/222 تا 0/226 میلی‌متر اندازه‌گیری شد. با افزایش مقدار اسانس، ضخامت فیلم‌ها نیز افزایش داشت که به دلیل محبوس شدن ریز قطره‌های اسانس در فیلم می‌باشد (Ahmad 2012، Bahram et al., 2014؛ et al., 2012). همچنین کاهش بسیار جزئی در دانسیته فیلم‌های زیست تخریب‌پذیر با افزایش غلظت اسانس به دلیل ماهیت روغنی آن مشاهده شد.

میزان نفوذپذیری به بخار آب

میزان نفوذپذیری به بخار آب تعیین شده از نمونه‌های فیلم مورد آزمون در شکل 1، نشان داده شده است. همانگونه که مشاهده می‌شود، با افزایش غلظت اسانس میزان نفوذپذیری به بخار آب به طور معنی‌داری کاهش یافت ($P < 0/05$). افزودن اسانس به ماتریس پلیمری فیلم پروتئین آب پنیر باعث بهبود خواص WVP در فیلم زیست تخریب‌پذیر شد (Sanchez-Gonzalez et al., 2012). به طور کلی عبور بخار آب از طریق ترکیبات آب دوست پروتئین فیلم رخ می‌دهد و به نسبت ترکیبات آب‌گریز به ترکیبات آب دوست بستگی دارد (Norajit et al., 2010). خاصیت آب‌گریزی اسانس می‌تواند باعث افزایش آب‌گریزی فیلم پروتئین آب پنیر شود. (Rojas-Grau et al., 2007) نشان دادند که افزودن اسانس پونه کوهی در سطح 1/5%، به دلیل تغییر نسبت ترکیبات آب دوست به ترکیبات آب‌گریز، می‌تواند باعث کاهش WVP فیلم زیست تخریب‌پذیر پوره سیب شود.

غلظت صفر (فیلم بدون اسانس) به‌عنوان شاهد در نظر گرفته شد (Gomez-Estaca et al., 2010).

تجزیه و تحلیل آماری داده‌ها

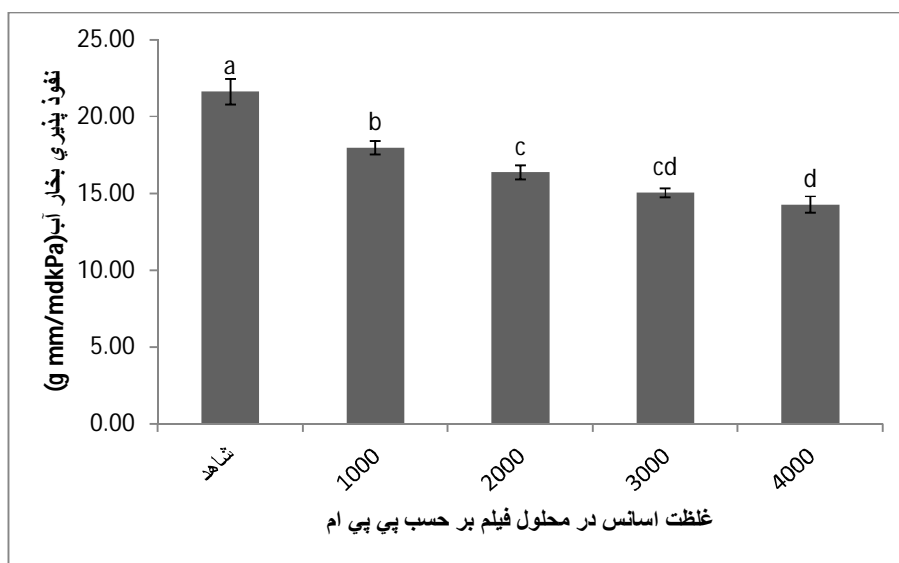
در این پژوهش، از طرح کاملاً تصادفی در قالب آزمون فاکتوریل حداقل با سه تکرار و مقایسه میانگین‌ها با آزمون‌های ANOVA و توکی استفاده گردید. تیمارهای این تحقیق 1- غلظت اسانس بنه در چهار سطح در تهیه فیلم WVP و 2- بررسی اثر ضد میکروبی اسانس بنه در 8 سطح بر روی کپک پنی سیلیوم اکسپانسون در سطح معنی‌دار 5% استفاده شد. آنالیز واریانس نتایج به‌دست آمده با استفاده از SPSS/17 استفاده شد، همچنین برای رسم نمودارها از نرم‌افزار EXCEL استفاده شد.

نتایج و بحث

ارزیابی ویژگی‌های فیزیکی

ضخامت و دانسیته

از آنجا که بسیاری از ویژگی‌های فیزیکی و مکانیکی فیلم‌ها تحت تاثیر میزان ضخامت آن‌ها قرار می‌گیرد (Wu et al., 2009)، در این مطالعه ضخامت فیلم به دقت کنترل شد، فیلم‌های به‌دست آمده ضخامت کمی داشته و به آسانی از سطح پلیت‌ها جدا شدند و در انواع نمونه‌های تولید شده، تفاوت معنی‌داری با یکدیگر نداشت. به‌طور



شکل 1- اثر غلظت اسانس صمغ بنه بر روی نفوذپذیری بخار آب در فیلم پروتئین آب پنیر

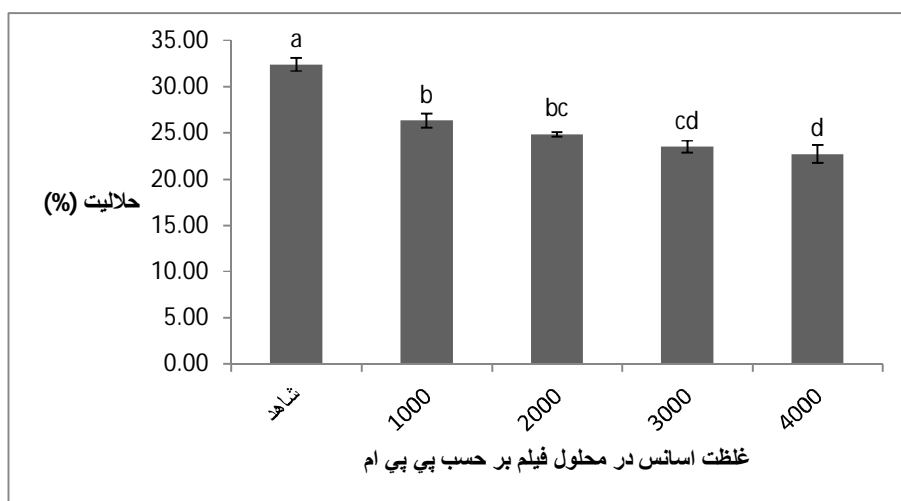
حلالیت در آب فیلم‌ها به‌طور معنی‌داری کاهش یافت که با نتایج اجاق و همکاران (2010)، مطابقت می‌کند که نشان دادند با افزایش

میزان حلالیت در آب

با افزایش غلظت اسانس در ساختار فیلم پروتئین آب پنیر میزان

آب‌گیری فیلم می‌باشد.

اسانس روغنی دارچین در ساختار هیدروکلوئیدی فیلم سبب کاهش حلالیت در آب فیلم تولیدی می‌شود. که به دلیل افزایش خاصیت

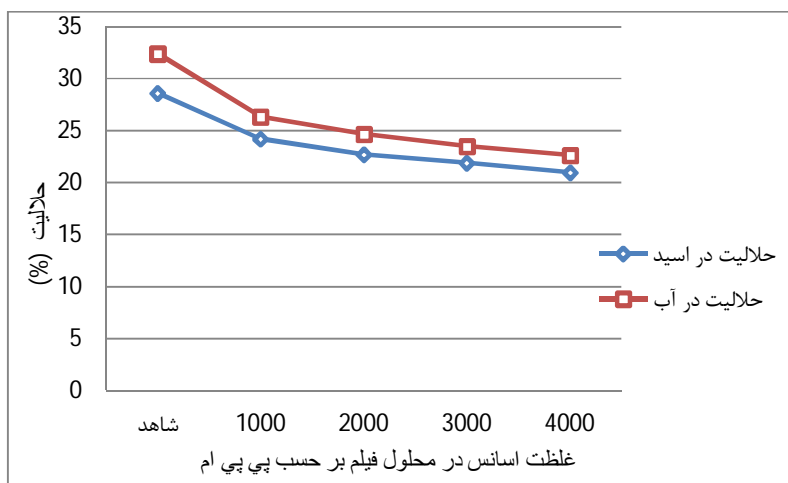


شکل 2- اثر غلظت اسانس بر روی میزان حلالیت در آب، فیلم پروتئین آب پنیر

در گلوتامین و اسپاراژین است. در محیط کمی قلیایی، دامید شدن باند آمیدی به سرعت اتفاق می‌افتد. یون هیدروکسید به گروه کربونیل آمید متصل شده و سبب جدا شدن گروه NHR_2 می‌شود که این امر سبب افزایش حلالیت پروتئین خواهد شد (Whitaker *et al.*, 1983).

پایداری در محلول‌های اسیدی و قلیایی

همانطور که در شکل 3، مشخص است محیط قلیایی باعث افزایش حلالیت فیلم به نسبت حلالیت در آب شده است. تحقیقات نشان داده‌اند که پروتئین‌ها در محیط قلیایی دچار چهار نوع واکنش هیدرولیز می‌شوند که یکی از مهم‌ترین آن‌ها هیدرولیز باندهای آمیدی



شکل 3- اثر غلظت اسانس بر میزان پایداری فیلم پروتئین آب پنیر در اسید و قلیا

به نقطه ایزوالکتریک (pI) که pH منحصر به فرد برای هر پروتئین است. در این نقطه، بار خالص روی پروتئین، صفر است. در این نقطه تعداد بارهای مثبت و منفی با هم برابرند. با افزایش بیشتر pH،

زمانیکه pH محلول پروتئین، 2 یا کمتر از آن است، پروتئین دارای حداکثر بار مثبت خالص است. با افزایش pH، گروه‌های کربوکسیل بیشتر یونیزه می‌شوند (دارای بار منفی می‌شوند) تا رسیدن

مشاهده گردید که البته این کاهش معنی دار نبود ($p < 0.05$). دلیل این کاهش شفافیت را می توان به ترکیبات فنولی موجود در اسانس نسبت داد که در طول موج های پایین توانایی جذب نور را دارند. همچنین این پدیده را می توان به پراکنش نور نسبت داد که توسط توزیع قطرات چربی (اسانس روغنی اضافه شده به فیلم) با ضریب شکست متفاوت با فاز پیوسته، در سراسر شبکه فیلم، به وجود آمده است (Shojaee-Aliabadi, 2013). این مسئله را احتمالاً، می توان به ماهیت اسانس نسبت داد. از طرف دیگر فاکتور ΔE ، که نشان دهنده بزرگی اختلاف رنگ می باشد، با افزودن اسانس به طور معنی داری، افزایش می یابد. در تحقیق حاضر این فاکتور از $16/74$ به $28/51$ افزایش نشان داد (Sobral *et al.*, 2001). فاکتور L^* ، با افزایش غلظت اسانس کاهش نشان داد و فاکتور b^* در کل یک افزایش معنی داری ($p < 0.01$) از $12/03$ در نمونه فاقد اسانس به $23/69$ در نمونه با 4000 پی پی ام اسانس مشاهده شد.

پروتئین دارای بار منفی بیشتری می شود که به دلیل یونیزاسیون هرچه بیشتر گروه های کربوکسیل، گروه های سولفیدریل و گروه های تیروزین و همچنین خنثی شدن بار مثبت گروه های ایمیدازول، گروه های آمینو و در نهایت گروه های گوانیدینو می باشد. در مجموع فیلم حاصل از پروتئین آب پنیر همراه اسانس صمغ بنه بیشترین پایداری را به ترتیب در محلول های اسیدی و آب و محلول های قلیایی نشان داد. به طوریکه در مورد حلالیت فیلم در قلیا این عدد از $35/7$ به $25/2$ ، در محیط آبی از $32/46$ به $22/66$ و در محیط اسیدی از $28/6$ به 21 کاهش نشان داده است.

شفافیت

در بررسی آزمون شفافیت تغییر معنی داری در میزان این شاخص در فیلم های تولیدی با غلظت های مختلف نشان نداد (جدول 1). با افزایش غلظت اسانس، شفافیت فیلم یک کاهش جزئی از $1/2$ در نمونه شاهد به $1/13$ در نمونه با غلظت 4000 پی پی ام اسانس،

جدول 1- اثر غلظت اسانس صمغ درخت بنه بر فاکتورهای شفافیت و پارامترهای رنگ

ΔE	b^*	a^*	L^*	شفافیت (T)	غلظت اسانس (پی پی ام)
$16/74 \pm 0/36^b$	$12/03 \pm 0/36^b$	$-2/185 \pm 0/007^{bc}$	$84/38 \pm 0/07^c$	$1/20 \pm 0/08^a$	نمونه شاهد
$16/38 \pm 0/01^b$	$11/755 \pm 0/007^b$	$-2/345 \pm 0/007^c$	$85/12 \pm 0/01^{ab}$	$1/07 \pm 0/03^{ab}$	1000
$15/96 \pm 0/83^b$	$11/27 \pm 0/77^b$	$-2/06 \pm 0/19^b$	$84/48 \pm 0/41^a$	$1/19 \pm 0/04^a$	2000
$16/76 \pm 0/18^b$	$12/105 \pm 0/17^b$	$-2/13 \pm 0/02^{bc}$	$84/62 \pm 0/04^{bc}$	$0/92 \pm 0/08^b$	3000
$28/51 \pm 0/4^a$	$23/69 \pm 0/36^a$	$-1/17 \pm 0^a$	$81/47 \pm 0/14^d$	$1/13 \pm 0/06^a$	4000

مقاومت به کشش فیلم ها با افزایش اسانس به طور معنی داری کاهش یافت ($p < 0.05$) این پدیده به وسیله اثر پلاستیسایزری اسانس ها در غلظت بالاتر، قابل توضیح است.

ارزیابی ویژگی های مکانیکی

تعیین مقاومت به کشش

داده های حاصل از آزمایش مکانیکی نشان داد (جدول 2) که

جدول 2- اثر غلظت اسانس صمغ درخت بنه بر مقاومت به کشش و میزان درصد ازدیاد طول تا نقطه پارگی فیلم

غلظت اسانس (پی پی ام)	مقاومت به کشش (مگاپاسکال)	درصد ازدیاد طول تا نقطه پارگی فیلم (میلی متر)
شاهد	$8/2 \pm 0/3^a$	$28 \pm 0/5^c$
1000	$6/53 \pm 0/25^b$	$33/4 \pm 1/12^b$
2000	$5/88 \pm 0/33$	$36 \pm 0/7^a$
3000	$5/57 \pm 0/45^c$	$36/6 \pm 1/3^a$
4000	$5/4 \pm 0/4^c$	$36/9 \pm 0/66^a$

افزودن ترکیبات روغنی اسانس، باعث ایجاد ساختاری ناهمگن در فیلم شود که موجب کاهش مقاومت کششی آن شده است

تعیین درصد ازدیاد طول تا نقطه پارگی

همانطور که نتایج در جدول 2 نشان داده شده است، کمیت ازدیاد طول تا نقطه پارگی با افزایش غلظت اسانس به طور معنی داری

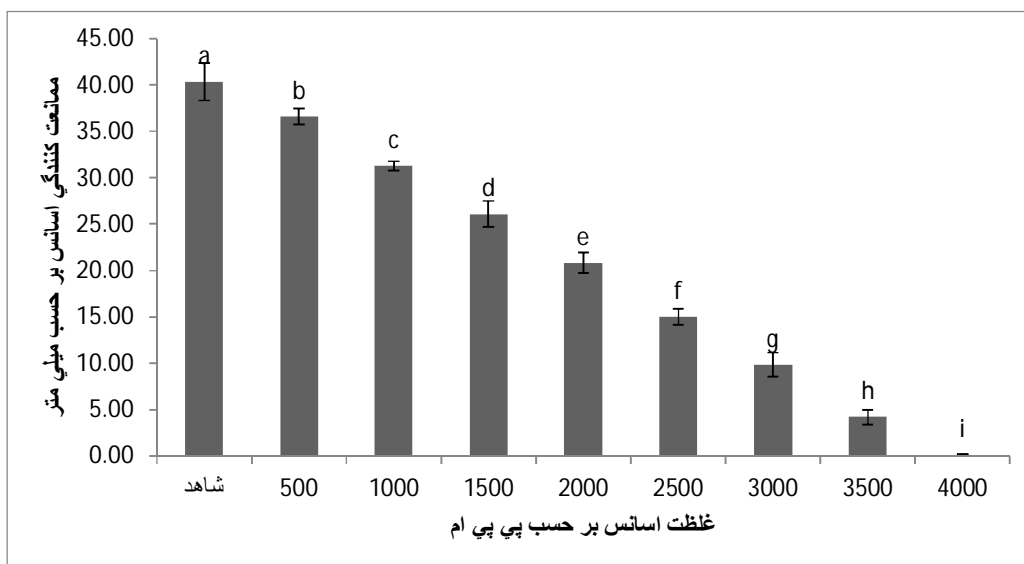
Broumand و همکاران (2011) گزارش دادند که علاوه بر چربی، افزودن اسانس آویشن شیرازی به فیلم کازئینات سدیم منجر به کاهش مقاومت به کشش در فیلم تولیدی شد. دناتوراسیون پروتئین آب پنیر از طریق بهبود تعامل بین پیوندهای دی سولفیدی و هیدروژنی، باعث کاهش مقاومت به کشش ریزمولکول های زنجیره های پروتئینی می شود (Oses *et al.*, 2009). ممکن است

اثر ضد میکروبی اسانس صمغ درخت بنه

تعیین میزان MIC

در شکل 4، اثر غلظت‌های مختلف اسانس بر مهار رشد کپک نشان داده شده است. تمامی غلظت‌های مورد بررسی تاثیر معنی‌داری ($P < 0.05$) بر رشد کپک داشته و نتایج حاصل نشان می‌دهد با افزایش غلظت اسانس اثر مهار کنندگی افزایش و قطر کلونی مربوط به کپک کاهش می‌یابد. کاهش رشد کپک تا غلظت 3500ppm ادامه داشت و غلظت مهار کنندگی اسانس 4000ppm به دست آمد. غلظت 4000ppm دارای 100% اثر مهار کنندگی بر روی رشد بوده و در طول 7 روز هیچ رشدی مشاهده نشد.

افزایش پیدا کرد ($P < 0.05$). این نشان می‌دهد که اسانس‌ها دارای نقش نرم کننده نیز هستند (Pranoto *et al.*, 2005). Zinoviadou و همکاران (2010) گزارش دادند که با زیاد شدن درصد اسانس پونه کوهی در فیلم‌های زیست تخریب‌پذیر حاصل از پروتئین آب پنیر، درصد ازدیاد طول این فیلم زیست تخریب‌پذیر افزایش می‌یابد که دلیل آن را تضعیف پیوندهای درون شبکه‌ای فیلم گزارش دادند. به طور کلی، پارامترهای مکانیکی در مطالعات مختلف، به صورت متفاوتی تحت تاثیر قرار می‌گیرند که وابسته به ویژگی و نوع ترکیبات لیپیدی، غلظت ترکیبات چربی افزوده شده و توزیع اندازه ذرات آنها می‌باشد. حضور یک فاز لیپیدی منجر به از هم گسیختن نظم در داخل ماتریس پروتئین آب پنیر شده و در نهایت باعث اختلاف در پارامترهای کشش می‌گردد (Galus & Kadzińska, 2016).



شکل 4- اثر غلظت اسانس در خاصیت ضد میکروبی اسانس صمغ درخت بنه بر کپک پنی‌سیلیوم اکسپانسونوم

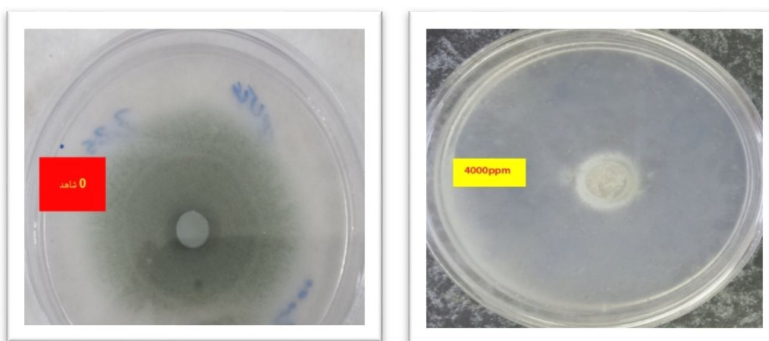
ضدقارچی اسانس را باعث می‌شود تا در غلظت معینی تأثیر قابل قبولی داشته باشد. (Aksoy *et al.*, 2006).

نتایج تحقیقات Hazell و Sharifi (2011) و Ramezani و همکاران (2004) و Ben Douissa و همکاران (2005) نشان می‌دهد که α -pinene یک ترکیب ضد میکروبی بسیار مهم در اسانس برگه و صمغ گونه *pistacia* می‌باشد. با توجه به اینکه مقدار ترکیب فوق در *P. atlantica* subsp *kurdica* تقریباً 70 درصد می‌باشد، بنابراین ممکن است یکی از دلایل بیشتر بودن قدرت بازدارندگی اسانس *pistacia* وجود α -pinene باشد (Aksoy *et al.*, 2006) و (Habibi و Najafi *et al.*, 2014).

اندازه نواحی ممانعت کنندگی از رشد کپک پنی‌سیلیوم اکسپانسونوم

Yahyazadeh و همکاران (2008) اثر اسانس میخک، رازیانه و آویشن و مریم گلی را بر رشد پنی‌سیلیوم دیجیتاتوم مورد تحقیق قرار دادند، آویشن و میخک در غلظت 4000ppm رشد قارچ را به طور کامل مهار کرد، اما رازیانه و مریم گلی فاقد مهار کنندگی بر روی این قارچ بودند. اکرمی و همکاران (1391) اثر اسانس آویشن شیرازی را بر رشد پنی‌سیلیوم سیترنیوم مورد بررسی قرار دادند، که در این بررسی غلظت 4000ppm به طور کامل رشد قارچ را مهار کرد. خاصیت ضدقارچی اسانس‌ها بستگی به نوع اسانس و غلظت‌های مختلف آن دارد و تفاوت در فعالیت ضدقارچی اسانس‌های گیاهی به اجزای تشکیل دهنده آن مرتبط است، به طوری که یک ترکیب ممکن است به تنهایی یا به صورت تشدید کنندگی با سایر ترکیبات فعالیت

توسط اسانس صمغ درخت بنه در جدول 2 ارائه شده است.



(الف)

(ب)

شکل 5- نمایش اثر ضد میکروبی اسانس صمغ درخت بنه بر کپک *بسیلیوم اکیپانوسوم*:
(الف): محیط کشت بدون اسانس، (ب) غلظت 4000 ppm اسانس در محیط کشت.

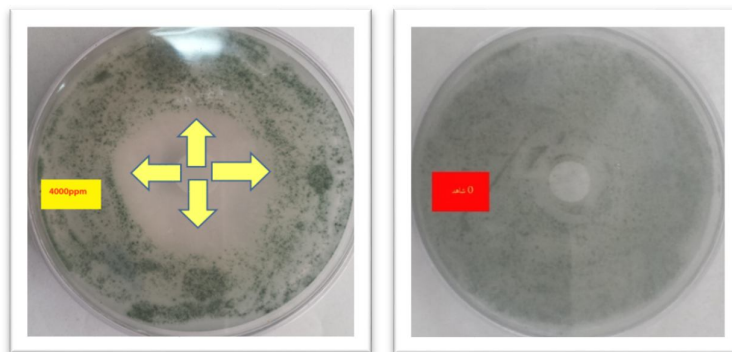
جدول 2- اندازه نواحی ممانعت کنندگی از رشد کپک *بسیلیوم اکیپانوسوم* و درصد بازدارندگی توسط اسانس صمغ درخت بنه

غلظت اسانس در محیط کشت (ppm)	رشد	
	قطر کلنی (mm) ^a	% بازدارندگی
0	40/32	0
500	36/66	9
1000	31/34	22/2
1500	26/12	35/2
2000	20/87	48/2
2500	15/05	62/6
3000	9/77	75/7
3500	4/51	88/8
4000	0	100

شده از پروتئین آب پنیر حاوی اسانس صمغ بنه بر کپک *بسیلیوم اکیپانوسوم* معنی دار بود ($p < 0.05$), (شکل 6 و 7).

اثر ضد میکروبی فیلم زیست تخریب پذیر پروتئین آب پنیر
به همراه اسانس صمغ بنه

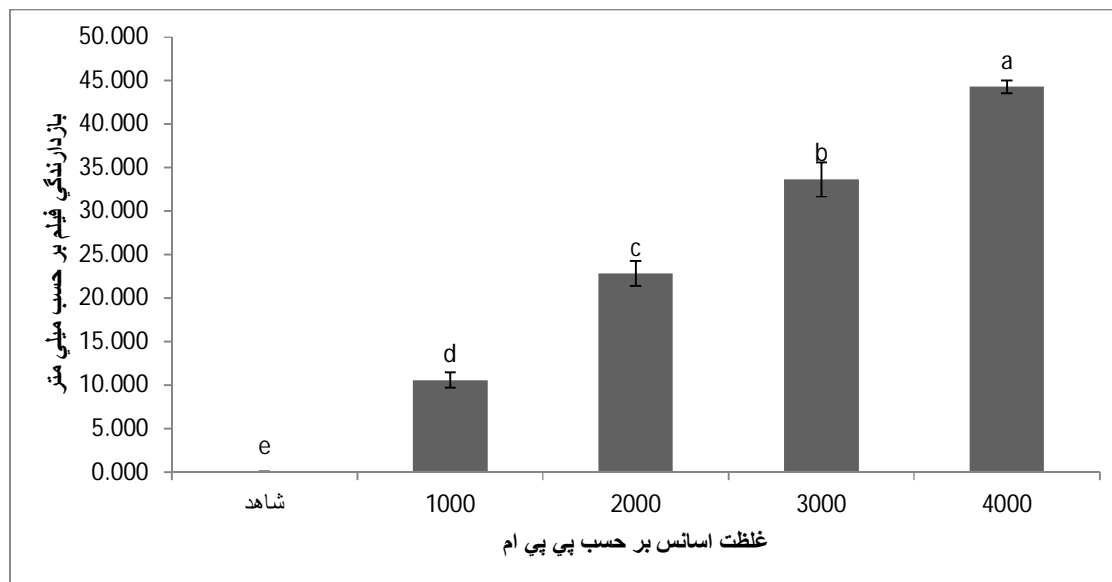
اثر غلظت در فعالیت ضد میکروبی فیلم زیست تخریب پذیر تهیه



(الف)

(ب)

شکل 6- نمایش اثر ضد میکروبی فیلم زیست تخریب پذیر پروتئین آب حاوی اسانس صمغ درخت بنه بر کپک *بسیلیوم اکیپانوسوم*
(الف): غلظت 4000 ppm اسانس در فیلم پروتئین آب پنیر، (ب) فیلم پروتئین آب پنیر بدون اسانس



شکل 7- اثر ضد میکروبی فیلم زیست تخریب پذیر پروتئین آب حاوی اسانس صمغ درخت بنه بر کپک پنی سیلیوم/اکسیانسونم

فرمولاسیون فیلم ویژگی‌های ضد رطوبتی فیلم را بهبود بخشید. با افزایش غلظت اسانس در ساختار فیلم پروتئین آب پنیر، میزان مقاومت به کشش فیلم به‌طور معنی‌داری کاهش یافت و بالعکس باعث افزایش معنی‌دار ازدیاد طول تا نقطه پارگی در فیلم شد. میزان حلالیت در فیلم دارای اسانس 4000ppm، (22/66%) بود که در مقایسه با فیلم شاهد با 32/46% کاهش چشمگیری به همراه داشته که خود فاکتور مهمی برای زیست تخریب‌پذیری فیلم‌ها در بسته‌بندی مواد غذایی محسوب می‌شود. در ارزیابی خواص ضد میکروبی اسانس صمغ بنه در محیط PDA بر کپک پنی سیلیوم/اکسیانسونم مشاهده شد افزایش غلظت اسانس، از رشد کپک جلوگیری کرد به طوری که در غلظت 4000ppm هیچ‌گونه رشدی از کپک بر روی سطح پلیت مشاهده نشد. به همین ترتیب فیلم پروتئین آب پنیر حاوی اسانس صمغ بنه در محیط کشت در برابر کپک پنی سیلیوم/اکسیانسونم بازدارندگی از خود نشان داده است و با افزایش غلظت اسانس در ساختار فیلم قطر هاله عدم رشد کپک افزایش یافته و تأثیرات بازدارندگی مناسبی در برابر کپک مورد آزمون مشاهده شد. به عبارت دیگر فرمولاسیون فیلم پروتئین آب پنیر حاوی اسانس صمغ بنه کارایی مطلوبی در خصوص انتشار ماده ضد میکروب مورد نظر داشته است.

در این آزمون فیلم شاهد (بدون اسانس) هیچ‌هاله بازداری را نشان نداد، این نتایج موافق با نتایج به‌دست آمده توسط Cagri و همکاران (2001) در مورد فیلم‌های پروتئین آب پنیر می‌باشد. در حالیکه فیلم‌های دارای اسانس دارای هاله بازداری مشخصی بودند. اندازه‌گیری فعالیت ضد میکروبی با استفاده از منطقه بازداری اطراف فیلم، به سرعت انتشار ماده ضد میکروب از فیلم، اندازه و شکل فیلم بستگی دارد (Pranoto *et al.*, 2005). این مطلب نشان دهنده این است که ترکیبات ضد میکروبی از فیلم تهیه شده به محیط کشت مهاجرت کرده و از رشد میکروارگانیسم در نواحی فیلم مورد نظر در محیط آگار جلوگیری می‌کند.

نتیجه‌گیری

در ارزیابی خواص فیزیکی، افزودن اسانس صمغ بنه به فیلم، نفوذپذیری به بخار آب، به‌طور معنی‌داری کاهش یافت و در غلظت 4000ppm از اسانس کمترین میزان نفوذپذیری به بخار آب ($14/24 \text{ g mm}^{-1} \text{ d}^{-1} \text{ kPa}^{-1}$) را نشان داد، که در مقایسه با فیلم شاهد، کاهش میزان نفوذپذیری به بخار آب را داشته است. از آنجایی که فیلم پروتئین آب پنیر ماهیت آب دوست دارد، خصوصیات ضد رطوبتی مطلوبی نخواهد داشت و اضافه نمودن این اسانس به

منابع

- Abdollahi, M., Rezaei, M. & Farzi, G., 2012, A novel active bionanocomposite film incorporating rosemary essential oil and nanoclay into chitosan, *Journal of Food Engineering*, 111(2), 343-350
- Ahmad, M., Benjakul, S., Prodpran, T. & Agustini, T. W., 2012, Physico-mechanical and antimicrobial properties of gelatin film from the skin of unicorn leatherjacket incorporated with essential oils, *Food Hydrocolloids*, 28(1), 189-199.

- Akrami Mohajer, F., Akhoozadeh Basti, A., Khosravi, A. R., Gandomi, H., Ebrahim Nejad, H. 1391. Growth inhibition and morphological alterations to *Penicillium citrinum* in response to *Zataria multiflora* Boiss. Essential oil. *Journal of Veterinary Research*. 67(4):307-312.
- Aksoy A, Duran N, Koksali F. In vitro and in vivo antimicrobial effects of mastic chewing gum against *Streptococcus mutans* and *mutans streptococci*. *Archives of Oral Biology* 2006; 51:476-481
- Alizadeh, V., Barzegar, H., Nasehi, B., Samavati, V. 1396. Characterization of physical and antimicrobial properties of chitosan edible films containing *Pistacia atlantica* gum essence. *Iranian Food Science and Technology Research Journal*. 13 (4):584-593.
- Alma, M. H., Nitz, S., Kollmannsberger, H., Digrak, M., Efe, F. T., and Yilmaz, N. 2004. Chemical composition and antimicrobial activity of the essential oils from the gum of Turkish pistachio (*Pistacia vera* L.). *Journal of Agriculture and Food Chemistry*. 52, 3911-3914.
- ASTM, 2001. Standard methods of test for water vapor transmission of materials in sheet form, method ASTM E 96-00. In Annual book of ASTM standard. Philadelphia, PA: American Society for Testing and Material.
- ASTM, 2002. Standard test method for tensile properties of thin plastic sheeting, D882-02. In Annual book of ASTM standards. Philadelphia, PA: American Society for Testing and Material.
- Bahram, S., Rezaei, M., Soltani, M., Kamali, M., S.M., Abdollahi, M. 2014. Whey Protein Concentrate Edible Film Activated with Cinnamon Essential Oil. *Journal of Food Processing and Preservation*. 38(3), 1251-1258.
- Barrero, A. F., Herrador, M. M., Arteaga, J. F., Akssira, M., Mellouki, F., Belgarrabe, A. & Blázquez, M. A., 2005, Chemical composition of the essential oils of *Pistacia atlantica* Desf *Journal of Essential Oil Research*, 17(1), 52-54.
- Bekhradi, R and Khayat Kashani, M. 1385. Therapeutic Applications of Essential oils. Morsal Publication. pp:28-32.
- Ben Douissa F, Hayder N, Chekir-Ghedira L, Hammami M, Ghedria K, Mariotte AM and et al. 2005. New study of the essential oil from leaves of *Pistacia lentiscus* L. Anacardiaceae from Tunisia. *Flavor and Fragrance Journal*. 20: 410-414.
- Broumand, A., Emam-Djomeh, Z., Hamed, M. and Razavi, S.H. 2011. Antimicrobial, water vapour permeability, mechanical and thermal properties of casein based *Zataria multiflora* Boiss. Extract containing film. *LWT Food Sci. Technol.* 44, 2316-2323.
- Cagri, A., Ustunol, Z., and Ryser, E.T., 2001. Antimicrobial, mechanical, and moisture barrier properties of low pH whey protein-based edible films containing p-aminobenzoic or sorbic acids. *Journal of Food Science* 66 (6), 865-870.
- Castola, V., Bighelli, A., and Casanova, J. 2000. Intraspecific chemical variability of the essential oil of *Pistacia lentiscus* L. from Corsica. *Biochemical Systematics Ecology*. 28, 79-88.
- Chae, S., and Heo, T.R., 1997. Production and properties of edible films using whey protein. *Biotechnology and Bioengineering*, 2, 122-125.
- Cheragh Ali, A. M., Yazdanpanah, H., and Doraki, N. "Incidence of aflatoxins in Iran pistachio nuts" *Food and Chemical Toxicology*, 2007, 45: 812-816.
- Delazar, A., Reid, R. G. and Sarker, S. D. 2004. GC-MS Analysis of the Essential Oil from the Oleoresin of *Pistacia atlantica* var. *mutica*. *Chemistry of Natural Compounds*. 40, 24-27.
- Farhoosh, R., Tavakoli, J., and Haddad Khodaparast, M. H. 2008. Chemical Composition and Oxidative Stability of Kernel Oils from Two Current Subspecies of *Pistacia atlantica* in Iran. *Journal of the American Oil Chemists' Society*. 85(8), 723-729.
- Galus, S., Kadzińska, J. 2016. Whey protein edible films modified with almond and walnut oils. *Food Hydrocolloids*. 52, 78-86.
- Gomez-Estaca, J., Lopez delacey, A., Lopezcaballero, M.E., Gomez-Guillen, M.C. and Antero, P. 2010. Biodegradable gelatin-chitosan films incorporated with essential oils as antimicrobial agent's for fish preservation. *Food Microbiology*. 27, 889-896.
- Habibi Najafi, M. B., Hajimohamadi Farimani, R., Tavakoli, J., and Madayeni, S. 2014. GC-MS Analysis And Antimicrobial Activity Of The Essential Oil Of Trunk Exudates Of *Pistacia atlantica* var. *mutica*, *Chemistry of Natural Compounds*, Vol. 50, No. 2, 376-378.
- Han, J. H., & Floros, J. D., 1997. Casting antimicrobial packaging films and measuring their physical properties and antimicrobial activity. *Journal of Plastic Film and Sheeting*, 13:287-298.
- Hatamnia, A. A., Abbaspour, N. & Darvishzadeh, R., 2014. Antioxidant activity and phenolic profile of different parts of *Bene* (*Pistacia atlantica* subsp. *kurdica*) fruits, *Food chemistry*, 145, 306-311.
- Hu, G., Chen, J, 2009. Preparation and characteristics of oxidized potato starch films. *Carbohydrate Polymer*, 76:291-298.
- Kumar, R., Mishra, A.K., Dubey, N.K. and Tripathi, Y.B. 2007. Evaluation of *Chenopodium ambrosioides* as a potential source of antifungal, anti-aflatoxinigenic and antioxidant activity. *International Journal of Food Microbiology*. 115, 159-164.
- Mgiatis, P., Melliou, E., Skaltounis, A., Chinou, I. B. and Mitaku, S. 1999. Chemical composition and antimicrobial activity of the essential oils of *Pistacia lentiscus* var. *chia*. *Planta Medica*, 65(8), 749-752.

- Monaco, P., Previtiera, L., and Mangoni, L. 1982. Terpenes in Pistacia plants: A possible defence role for monoterpenes against gall-forming aphids. *Phytochemistry*, 21(9), 2408-2410.
- Muller C M O, Yamashita F, Laurindo J B, 2008. Evaluation of the effects of glycerol and sorbitol concentration and water activity on the water barrier properties of cassava starch films through a solubility approach. *Carbohydrate Polymer*, 72:82-87.
- Norajit, K., Kim, K.M. and Ryu, G.H. 2010. Comparative studies on the characterization and antioxidant properties of biodegradable alginate films containing ginseng extract. *Journal of Food Engineering*. 98, 377-384.
- Ojagh, S.M., Rezaei, M., Razavi, S.H., and Hosseini, S.M.H., 2010a. Effect of chitosan coatings enriched with cinnamon oil on the quality of refrigerated rainbow trout. *Food Chemistry*. 120, 193-198.
- Oses, J., Fabregat-Vazquez, M., Pedroza-Islas, R., Tomas, S.A., Cruzorea A. and Mate, J.I. 2009. Development and characterization of composite edible films based on whey protein isolate and mesquite gum. *Journal of Food Engineering*. 92, 56-62.
- Ou, S., Kwok, K. C. and Kang, Y. 2004. Changes in in vitro digestibility and available lysine of soy protein isolate after formation of film. *Journal of Food Engineering*. 64, 301-305.
- Pranoto, Y., S.K. Rakshit, V.M. Salokhe. 2005. Enhancing antibacterial activity of chitosan films by incorporating garlic, potassium sorbate and nisin. *LWT*, 38: 859-865.
- Pérez-Gago, M.B and Krochta, J.M. 1999. Water vapor permeability of whey protein emulsion films as affected by pH. *Journal of Food Science*. 64(4):695-698.
- Ramezani, M., Khaje-Karamoddin, M., and Karimi-Fard, V. 2004. Chemical Composition and Anti-Helicobacter pylori Activity of the Essential Oil of Pistacia vera. *Pharmaceutical Biology*. 42 (7), 488 - 490.
- Ramos, O. L., Fernandes, J. C., Silva, S. L., Pintado, M. E., and Malcata, F. X. 2012. Edible Films and Coatings from Whey Proteins: A Review on Formulation, and on Mechanical and Bioactive Properties. *Critical Reviews in Food Science and Nutrition*, 52:533-552.
- Rojas-Grau, M., Avena-Bustillos, R.J., Olsen, C., Friedman, M., Henika, P.R., Martin-Belloso, O., et al. 2007 Effects of plant essential oils and oil compounds on mechanical, barrier and antimicrobial properties of alginate-apple puree edible films. *Journal of food Engineering*, 81, 634-641.
- Romero-Bastida C A, Bello-Oerez L.A, Garcia M.A, Martino M.N, Solorza-Feria J, Zaritzky, N.E. 2005. Physicochemical and microstructural characterization of films prepared by thermal and cold gelatinization from non-conventional sources of starches. *Carbohydrate Polymer*, 60:235-244.
- Sanchez-Gonzalez, L., Vargas, M., Gonzalez-Martinez, C., Chiralt, A. and Chafer, M. 2011. Use of essential oils in bioactive edible coatings. *Food Engineering Review*. 3, 1-16.
- Seydim, A.C. and Sarikus, G. 2006. Antimicrobial activity of whey protein based edible films incorporated with oregano, rosemary and garlic essential oils. *Food Research International*. 39, 639-644.
- Sharifi, M. S., and Hazell, S.L. 2011. GC-MS Analysis and Antimicrobial activity of the essential oil of the trunk exudates from Pistacia atlantica kurδικa. *Journal of Pharmaceutical Science and Research*. 3 (8), 1364-1367.
- Shojaee-Aliabadi, S., Hosseini, H., Mohammadifar, M. A., Mohammadi, A., Ghasemlou, M., Ojagh, S. M. & Khaksar, R. 2013. Characterization of antioxidant-antimicrobial κ Carrageenan films containing satreja hortensis essential oil, *International journal of biological macromolecules*. 52, 116-124.
- Sobral, P. J. A., Menegalli, F. C., Hubinguer, M. D., and Roques, M. A. 2001. Mechanical, water vapor barrier and thermal properties of gelatin-based edible films. *Food Hydrocolloid*. 15: 423-432.
- Taran, M., Mohebbali, M. and Esmaeli, J. 2010. In Vivo Efficacy of Gum Obtained Pistacia Atlantica in Experimental Treatment of Cutaneous Leishmaniasis. *Iranian Journal of Public Health*, 39 (1), 36 -41.
- Tripathi, P., Dubey, N. K. and Shukla, A. K. 2008. Use of some essential oils as post-harvest botanical fungicides in the management of grey mold of grapes caused by Botrytis cinerea. *World Journal of Microbiology and Biotechnology* 24:39-46.
- Whitaker J.R., Feeney R. E., Sternberg. M.M. 1983. Chemical and physical modification of proteins by the hydroxide ion. *CRC Critical Reviews in Food Science and Nutrition*, 19(3): 173-212.
- Wu H.X, Lia C.H, Chen. J.H. Chen Y, Anderson D.P, 2009, Structure and properties of starch-zirconium Sacc. *World microbial Biotechnology* 24:1445-1450.
- Yahyazadeh M, Omidbeigi R, Zare R, Taheri H, 2008. Effect of some essential oil on mycelial growth of Penicillium digitatum C., 2010, Purification of a new antifungal compound produced by Lactobacillus plantarum AFI isolated from kimchi, *International Journal of Food Microbiology*, 129, 56-63.
- Yan Q, Hou H, Guo P, Dong H, 2011. Effects of extrusion and glycerol content on properties of oxidized and acetylated corn starch-based films. *Carbohydrate Polymer*, 87(1):707-712.
- Zinoviadou, K., Koutsumanis, K.P., & Biliaderis, C.G. 2010. Physical and thermomechanical properties of whey protein isolate films containing antimicrobial, and their effect against spoilage flora of fresh beef. *Food Hydrocolloids*, 24, 49-59.

Antimicrobial effect of WPC-based edible film containing mastic tree sap (*Pistacia atlantica Subsp. Kurdica*) essential oil on *Penicillium expansum*

S. Abbaspour Monjezi¹, M. R. Edalatian Dovom^{2*}, M. B. Habibi najafi³, A. Koocheki³

Received: 2017.05.07

Accepted: 2017.09.11

Introduction: Nowadays, consumers prefer foods produced without synthetic preservatives. These chemical preservatives have been gradually replaced by natural preservatives in formulation of edible films and coating. Since, edible films can be applied as carriers of antimicrobial agents, so, these aforementioned ingredients can be incorporated in such films. Among edible films, protein-based films such as whey protein concentrate (WPC)-based films are more attractive because they also supply valuable nutrients and introduce acceptable mechanical resistance. On the other hand, these films present moderate barriers to moisture due to the hydrophilic nature of whey proteins. Essential oils (Eos) can be incorporated in to edible films in order to compensate (overcome) this defect. Since no published research has been found on integrating mastic tree sap (*Pistacia atlantica sub sp. kurdica*) essential oil into whey protein edible films, this essential oil was applied for WPC-based film in this research. Some species belong to *Penicillium* have been known as contaminants of dairy and fruit products. Among *Penicillium* sp., *P. expansum* is more popular for causing post-harvest damage of apples. In this study, our objective was focused on mechanical and anti-fungal properties of WPC-based films incorporated with mastic gum essential oil.

Materials and methods: WPC, mastic tree sap and *P. expansum* were obtained from Multi Milk Company, Kurdistan mastic Gum Company and Persian Type Collection Culture, respectively. Extraction of EO from mastic gum was accomplished using water distillation or hydro distillation with the help of Clevenger-type apparatus for 5 hours to obtain a pale yellow oil. Solution (10%w/w) of WPC in distilled water was prepared. Glycerol (as plasticizer) was added to WPC solution at a ratio of 1:1 WPC: Glycerol. Then concentrations of EO (1000, 2000, 3000 and 4000 ppm) was added to solution and mixed for 2 min. In the next step, some characteristics of film were measured including: thickness and density, water solubility, stability in acidic and alkaline solutions, water vapor permeability and light transmission / film transparency. Some mechanical properties of films such as tensile strength (TS) and elongation at break (%E) of films were also determined.

Regarding microbial assays, following the activation and preparation of fungi spore, MIC was determined using Agar Dilution Method. Determination of antimicrobial activity of film was performed according to film disk agar diffusion assay

Results & Discussion: With increasing essential oil concentration, film thickness exhibited increasing trend which was due to entrapment of micro-droplets of essential oil in film. Along with increasing EO concentration in film samples, WVP declined significantly (P -value <0.05).

Incorporating of essential oil of baneh in to WPC-based film formulation at a level of 4000ppm led to a reduction in WVP from 21.62 to 14.27 (g.mm/m.d.kpa). Regarding water solubility, with increasing of essential oil concentration in structure of whey protein film, water solubility of films experienced declining trend from 32.42% in control sample to 22.69 % in film with 4000ppm EO significantly ($p<0.05$). Alkaline solution caused increase of film solubility compared to water solubility. Also, no significant difference was seen in transparency of produced films with increasing essence concentration. Mechanical properties, including tensile strength experienced declining trend significantly ($P<0.05$) but, elongation at break showed an increase up to 36.9 mm with increasing of essential oil concentration to 4000 ppm. WPC-based film possessed antifungal effect on Potato Dextrose Agar (PDA) against *Penicillium expansum*. Increasing essential oil concentration in the film led to enhance the zone of inhibition significantly ($P<0.05$). Increasing of essential oil concentration inhibited the

1, 2 and 3. Former MSc Student, Associate Professor and Professor, Department of Food Science and Technology, Ferdowsi University of Mashhad, Iran.

(*Corresponding Author Email: edalatian@um.ac.ir)

fungal growth so that no growth was seen at concentration of 4000 ppm in PDA medium. Similarly, WPC-based film containing mastic sap essential oil showed inhibitory effect on *P. expansum* in PDA medium and with increasing of EO concentration in film structure, clear zone of inhibition was developed. In other words, formulation of whey protein concentrated film containing essential oil presented suitable efficacy regarding to diffusion of respected antimicrobial compounds.

Keywords: Antimicrobial effect, Edible film, Oil of baneh, Whey protein